

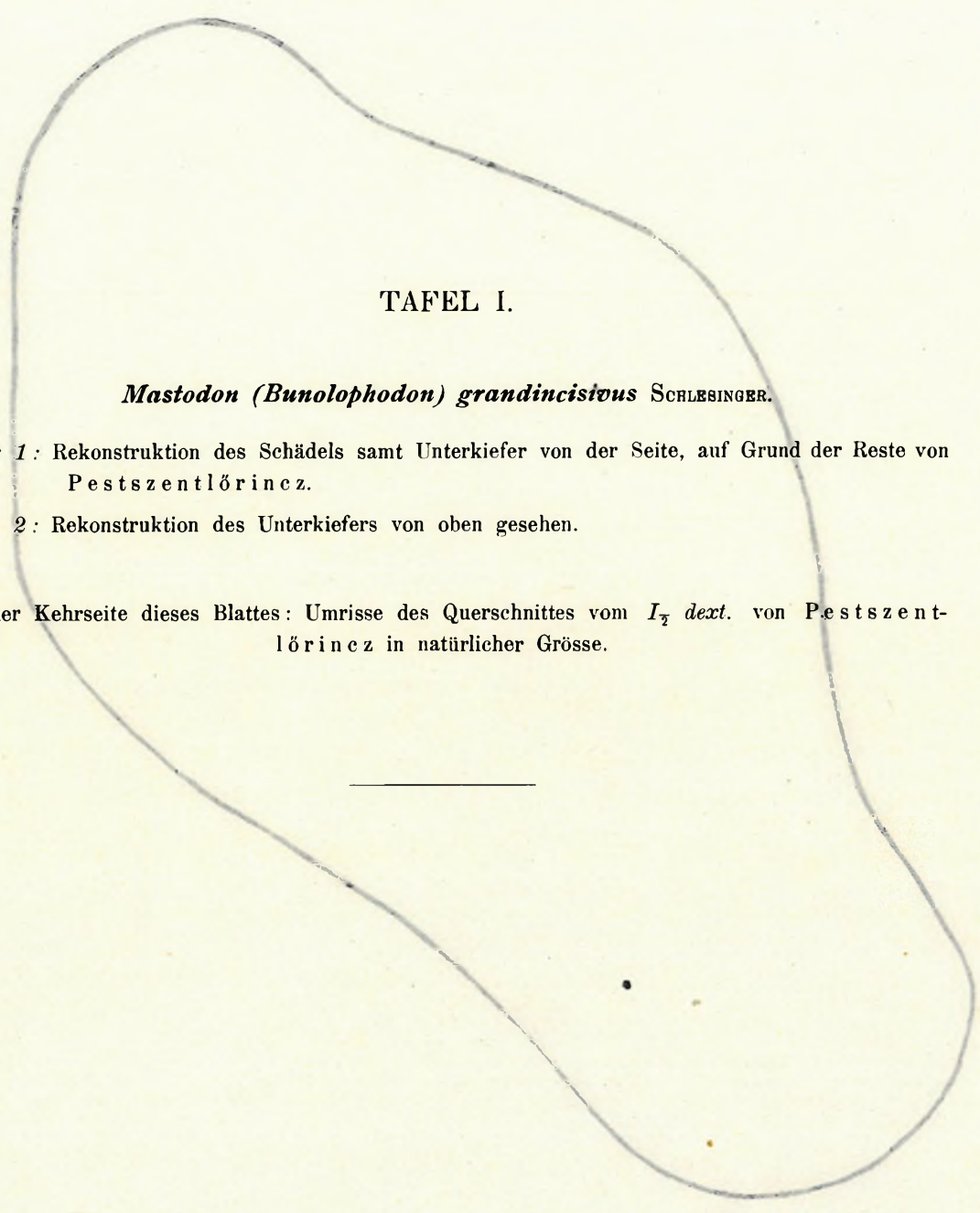
TAFEL I.

Mastodon (Bunolophodon) grandincisivus Sommer

Figur 1: Rekonstruktion des Schäbels samt Unterkiefer von der Seite, auf Grund der Reste von Restentörinen.

Figur 2: Rekonstruktion des Unterkiefers von oben gesehen.

Zahl der Zähne dieser Blätter: Umrisse des Querschnittes vom  $\frac{1}{2}$  d. d. d. von Restentörinen in natürlicher Größe.



TAFEL I.

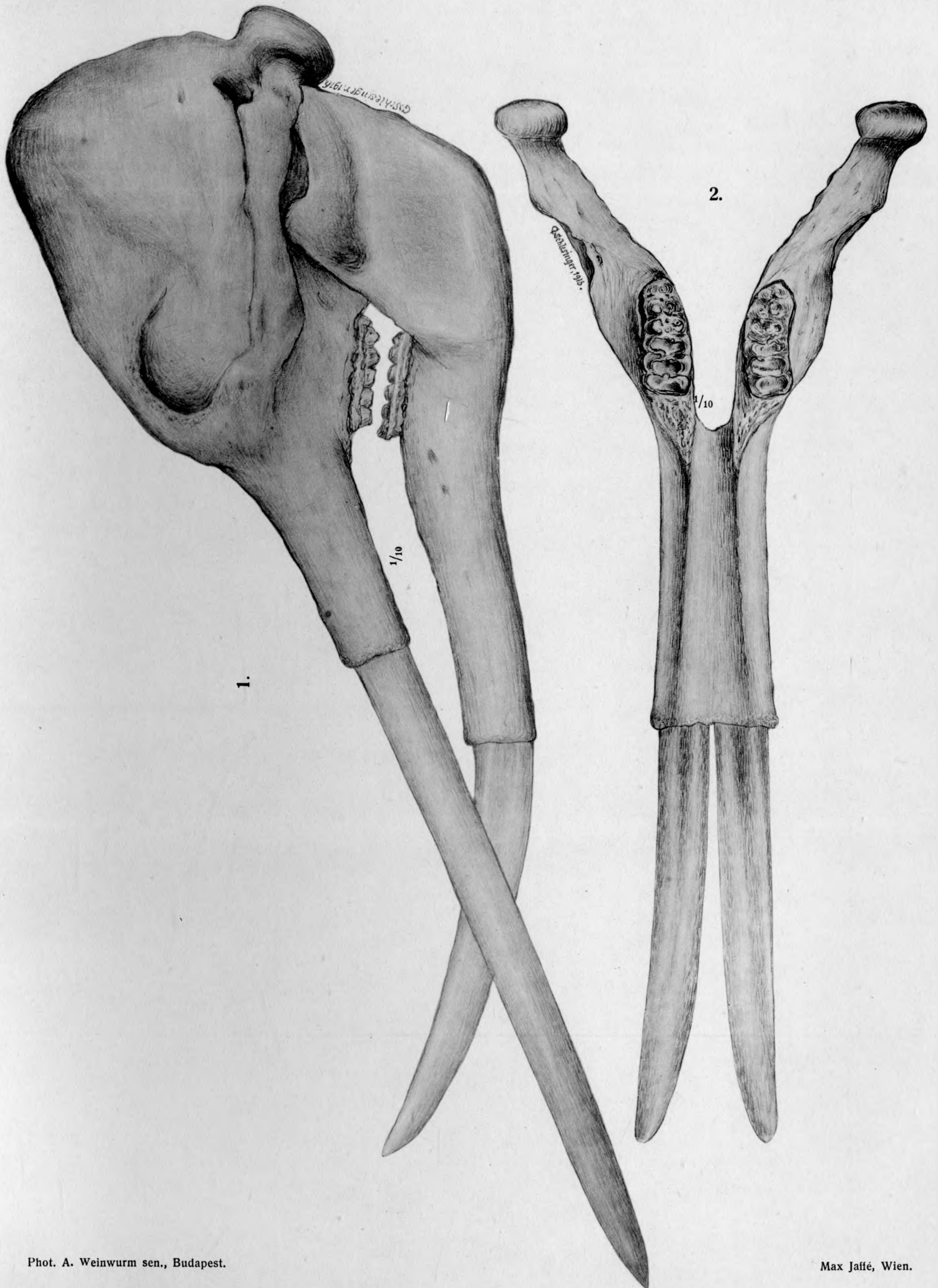
*Mastodon (Bunolophodon) grandincisivus* SCHLESINGER.

*Figur 1*: Rekonstruktion des Schädels samt Unterkiefer von der Seite, auf Grund der Reste von Pestszentlőrincz.

*Figur 2*: Rekonstruktion des Unterkiefers von oben gesehen.

Auf der Kehrseite dieses Blattes: Umriss des Querschnittes vom  $I_{\frac{1}{2}}$  *dext.* von Pestszentlőrincz in natürlicher Grösse.

---



## TAFEL II.

### *Mastodon (Bunolophodon) grandincisivus* SCHLESINGER.

*Figur 1:* Stos Zahnapparat ( $I^2$  und  $I_{\frac{1}{2}}$ ) samt Mandibel.

*Figur 2:* Obere Stos zähne von unten gesehen, um die weit nach hinten reichende Spitzenusur zu zeigen.

a) Rechter, b) Linker  $I^2$ .

*Figur 3:* Untere Stos zähne.

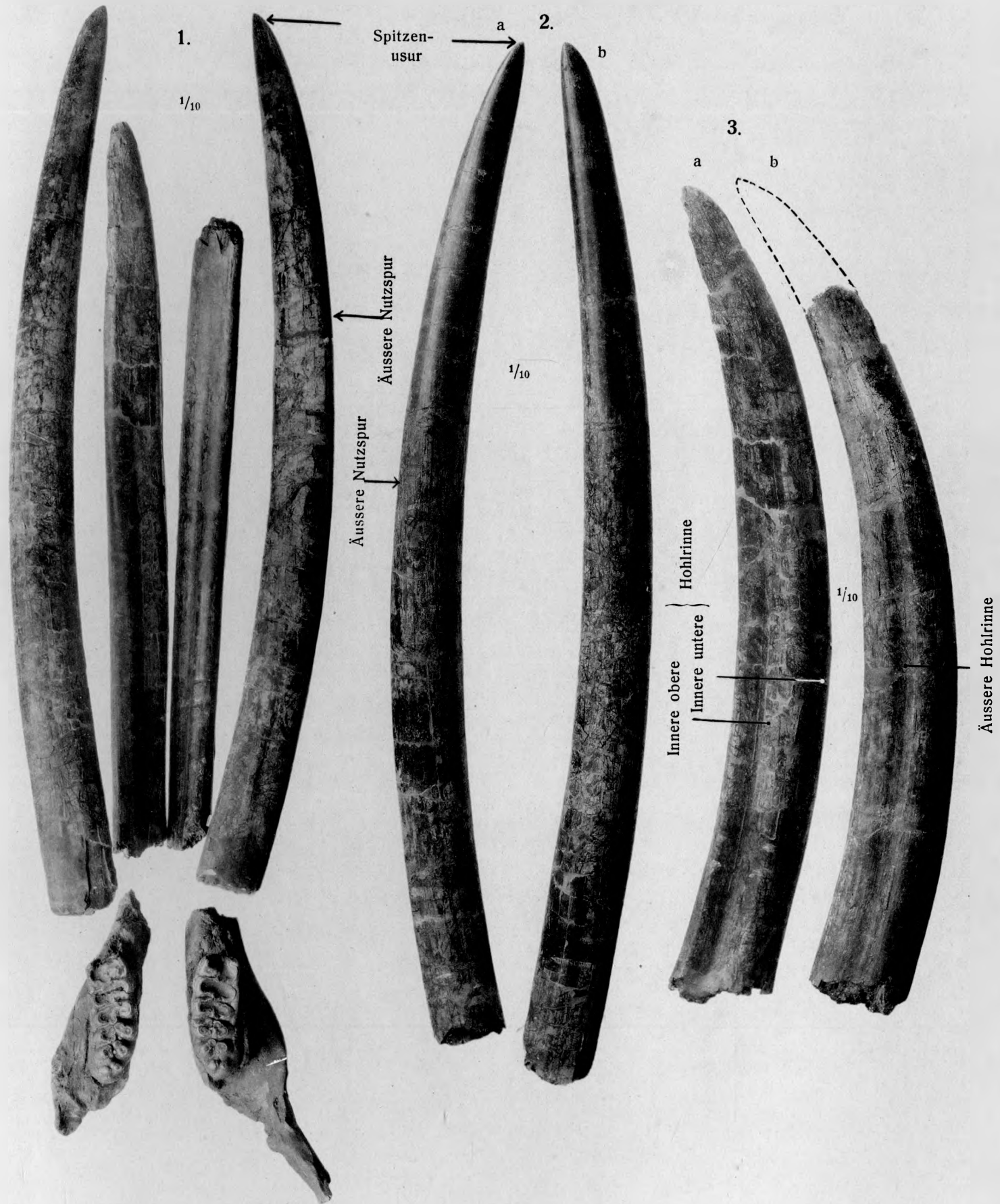
a)  $I_{\frac{1}{2}}$  sin. von der Innenseite, b)  $I_{\frac{1}{2}}$  dext. von der Aussenseite.

*Fundort:* Pestszentlőrincz, Komitat Pest.

*Horizont:* Unteres Oberpontikum.

*Wiedergabe:*  $\frac{1}{10}$  natürl. Gr.

Originale in der Sammlung der Ungarischen Geologischen Reichsanstalt in Budapest, sämtlich einem Tier zugehörig.



### TAFEL III.

#### *Mastodon (Bunolophodon) grandincisivus* SCHLEISINGER.

*Figur 1*: Stos Zahnapparat der linken Kieferhälfte ( $I_2^2$  und  $I_2$ ) von aussen gesehen.

*Figur 2*: *Caput femoris* und *Trochanter* dext. von hinten.

*Figur 3*: Rechte *Patella* von vorne.

*Figur 4*: Teil der rechten *Scapula* von aussen.

*Figur 5*: Distaler Teil der Innenhälfte des rechten *Humerus* von hinten.

*Figur 6*: Proximaler Abschnitt der rechten *Tibia* von vorne.

*Figur 7*: Rechter Mandibelast mit  $M_3$  von der Seite.

*Fundort*: Pestszentlőrincz, Komitat Pest.

*Horizont*: Unteres Oberpontikum.

*Wiedergabe*: *Figur 1* in  $\frac{1}{10}$ , *Figur 2, 3, 4, 5* und *6* in  $\frac{1}{7}$ , *Figur 7* in  $\frac{1}{3}$  natürl. Gr.

Originale in der Sammlung der Ungarischen Geologischen Reichsanstalt in Budapest, demselben Tier, wie auf Taf. II, zugehörig.

*Abkürzungen*: *C. f.* = *Caput femoris*.

*Tr.* = *Trochanter*.

*Entepicond.* = *Entepicondylus*,

*Temp. eindr.* = Eindruck des *Musculus temporalis*.

*Mass. ans.* = Ansatz des *Musculus masseter*.

*F. ment.* = *Foramen mentale*.

1.



1/10

2.



C. f.

Tr.

1/7

4.



Crista-ansatz

1/7

3.



1/7

5.



Entepicond.

1/7

6.



1/7

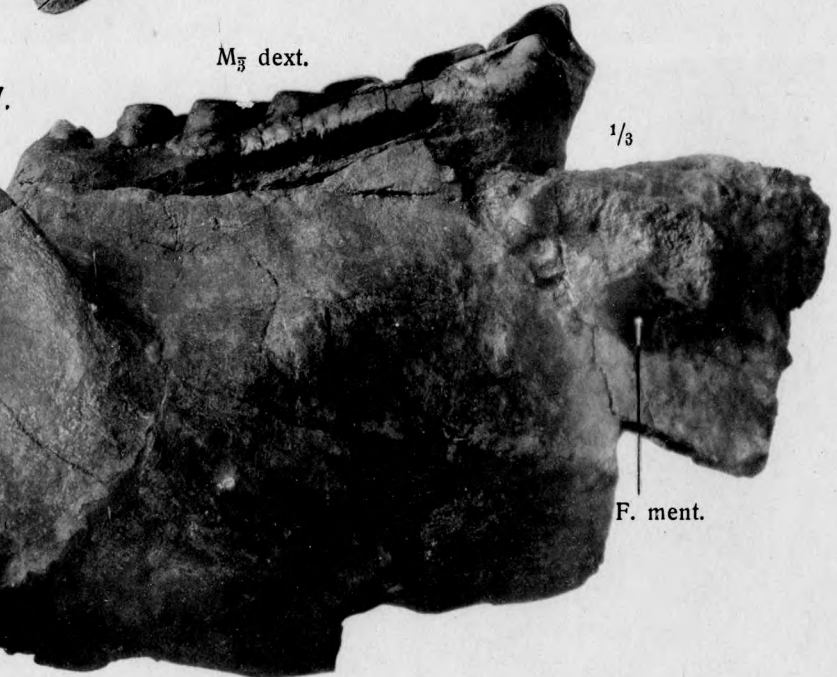
Temp.-eindr.



Mass. ans.

M<sub>3</sub> dext.

7.



1/3

F. ment.

## TAFEL IV.

### *Mastodon (Bunolophodon) grandincisivus* SCHLESINGER.

*Figur 1:*  $M^{\Delta}$  dext. von der Kaufläche.

*Figur 2:*  $M^{\frac{2}{3}}$  sin. " " "

*Figur 3:*  $M^{\frac{2}{3}}$  dext. " " "

*Fundort:* Pestszentlőrincz, Komitat Pest.

*Horizont:* Unteres Oberpontikum.

*Wiedergabe:*  $\frac{1}{2}$  natürl. Gr.

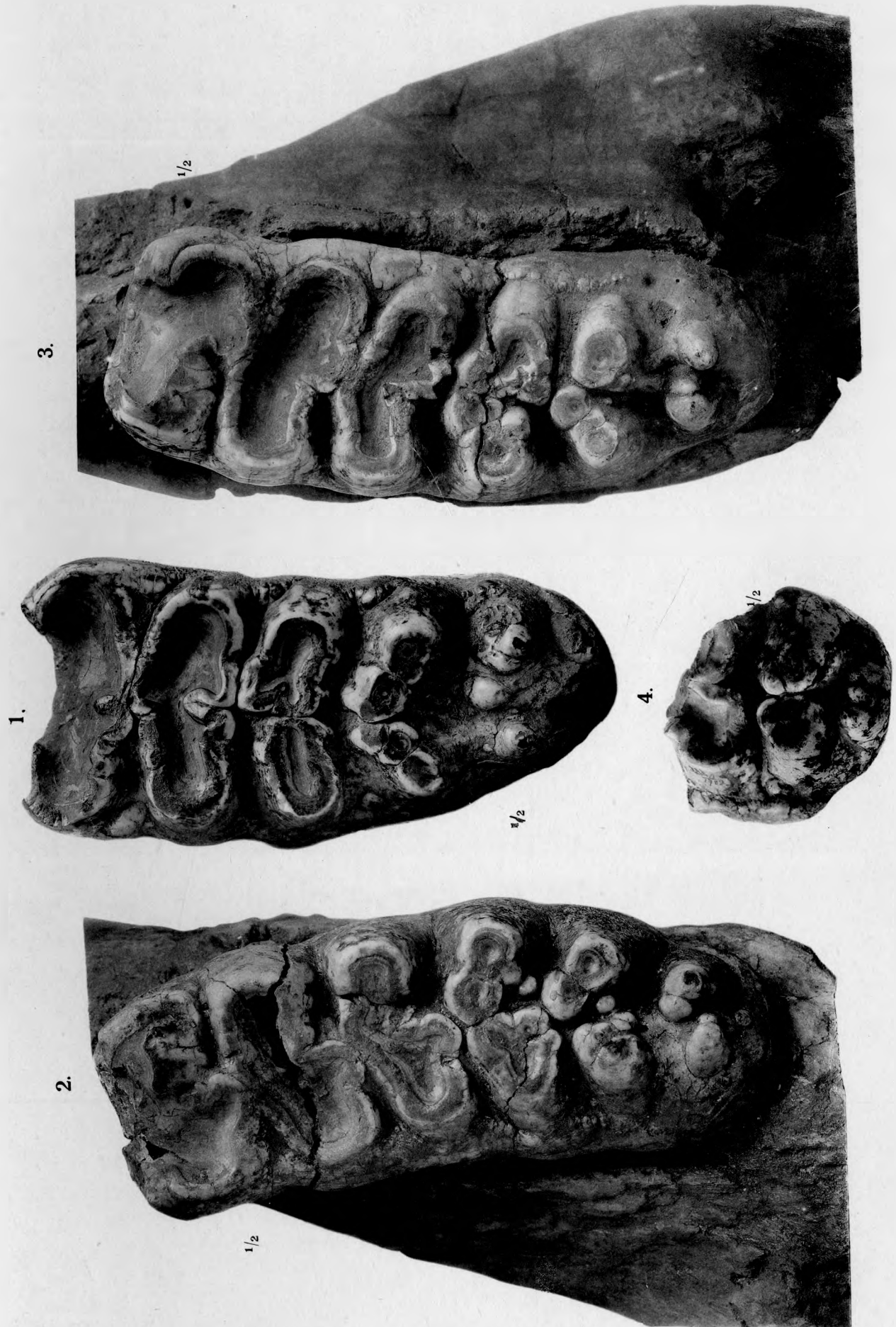
*Figur 4:* Die beiden Schlussjoche eines  $M^{\frac{2}{2}}$  sin. von der Kaufläche.

*Fundort:* Neszmély, Komitat Komárom.

*Horizont:* Unbekannt.

*Wiedergabe:*  $\frac{1}{2}$  natürl. Gr.

Originale in der Sammlung der Ungarischen Geologischen Reichsanstalt in Budapest, mit Ausnahme von Figur 4 demselben Tier, wie auf Tafel II. zugehörig.



## TAFEL V.

### *Mastodon (Bunolophodon) grandincisivus* SCHLESINGER.

Figur 1:  $M^3$  sin. von der Kaufläche.

Fundort und Horizont unbekannt.

Figur 2:  $M^3$  sin. von der Kaufläche.

Figur 3: Rechte Beckenhälfte von unten.

Figur 4: " " von innen und unten (senkrecht auf das *Ischium*).

Figur 5: Rechte *Patella* von der Gelenkfläche.

Fundort: Pestszentlőrincz, Komitat Pest.

Horizont: Unteres Oberpontikum.

Wiedergabe: Figur 1, 2, 5 in  $\frac{1}{2}$ , 3 und 4 in  $\frac{1}{7}$  natürl. Gr.

Original zu Figur 1 in der Sammlung des Ungarischen Nationalmuseums in Budapest; die Originale zu den übrigen Figuren, welche demselben Tier, wie auf Tafel II. zugehören, liegen in der Sammlung der Ungarischen Geologischen Reichsanstalt in Budapest.

Abkürzungen: Trans. Pubisast = Transversaler Pubisast.

Long. Pubisast = Longitudinaler Pubisast.

Inc. acet. = *Incisura acetabuli*.

Acet. = *Acetabulum*.

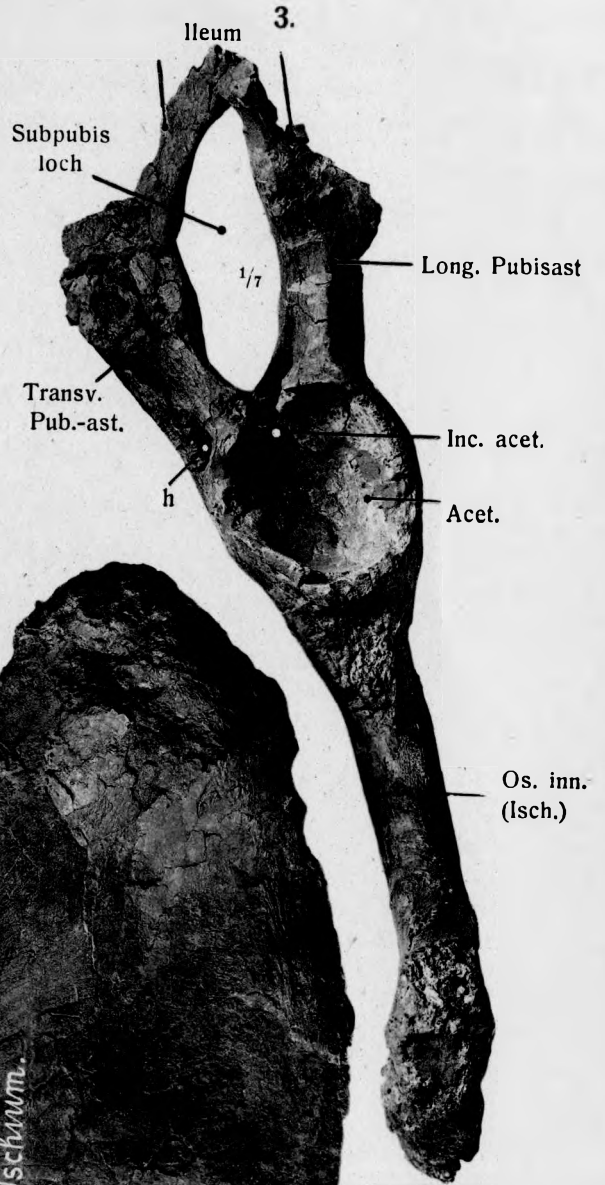
Os im. = *Os innominatum (Ischium)*.

---

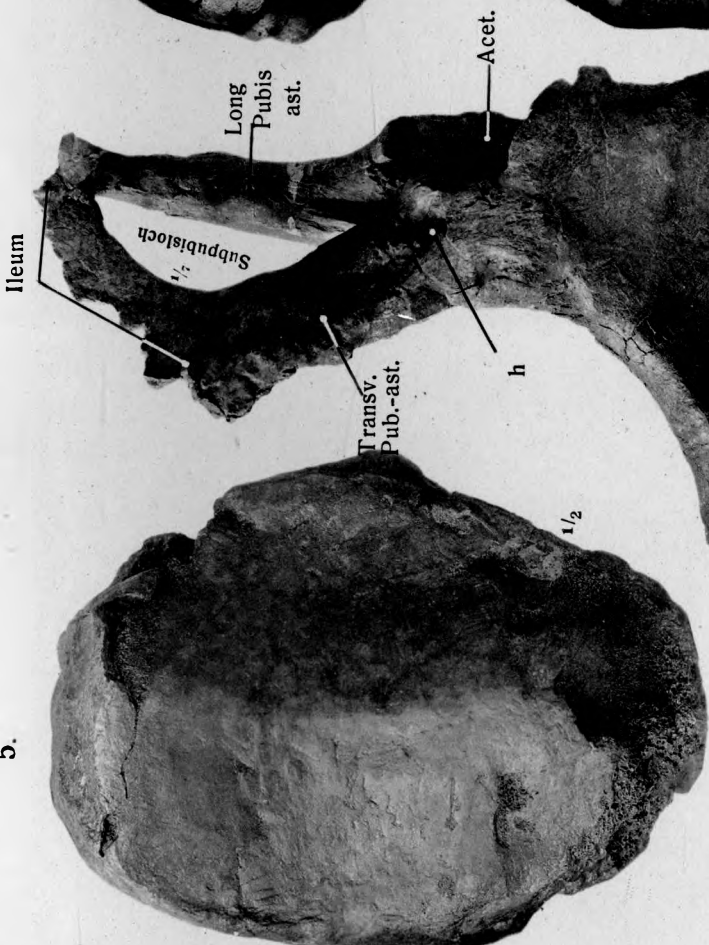
1.

2.

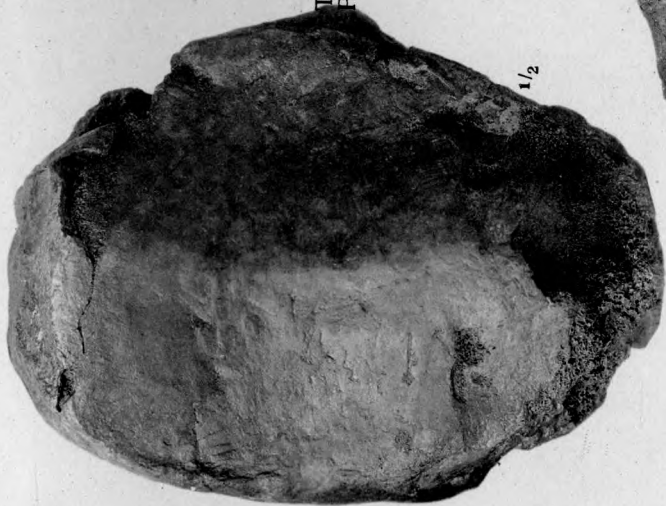
3.



4.



5.



## TAFEL VI.

### *Mastodon (Bunolophodon) grandincisivus* SCHLESINGER.

*Figur 1:* Rechter *Carpus* mit *Intermedium* (*I*), *Unciforme* (*ue*), *Magnum* (*m*) und *Trapezoidem* (*td*).

*Fundort:* Pestszentlőrincz. Komitat Pest.

*Horizont:* Unteres Oberpontikum.

### *Mastodon sp.*

*Figur 2:*  $I_2^2$ , Spitzenteil.

*Fundort:* Badacsony. Komitat Zala.

*Horizont:* Pontikum.

### *Mastodon (Mammot) americanus* PENNANT *forma typica* autorum.

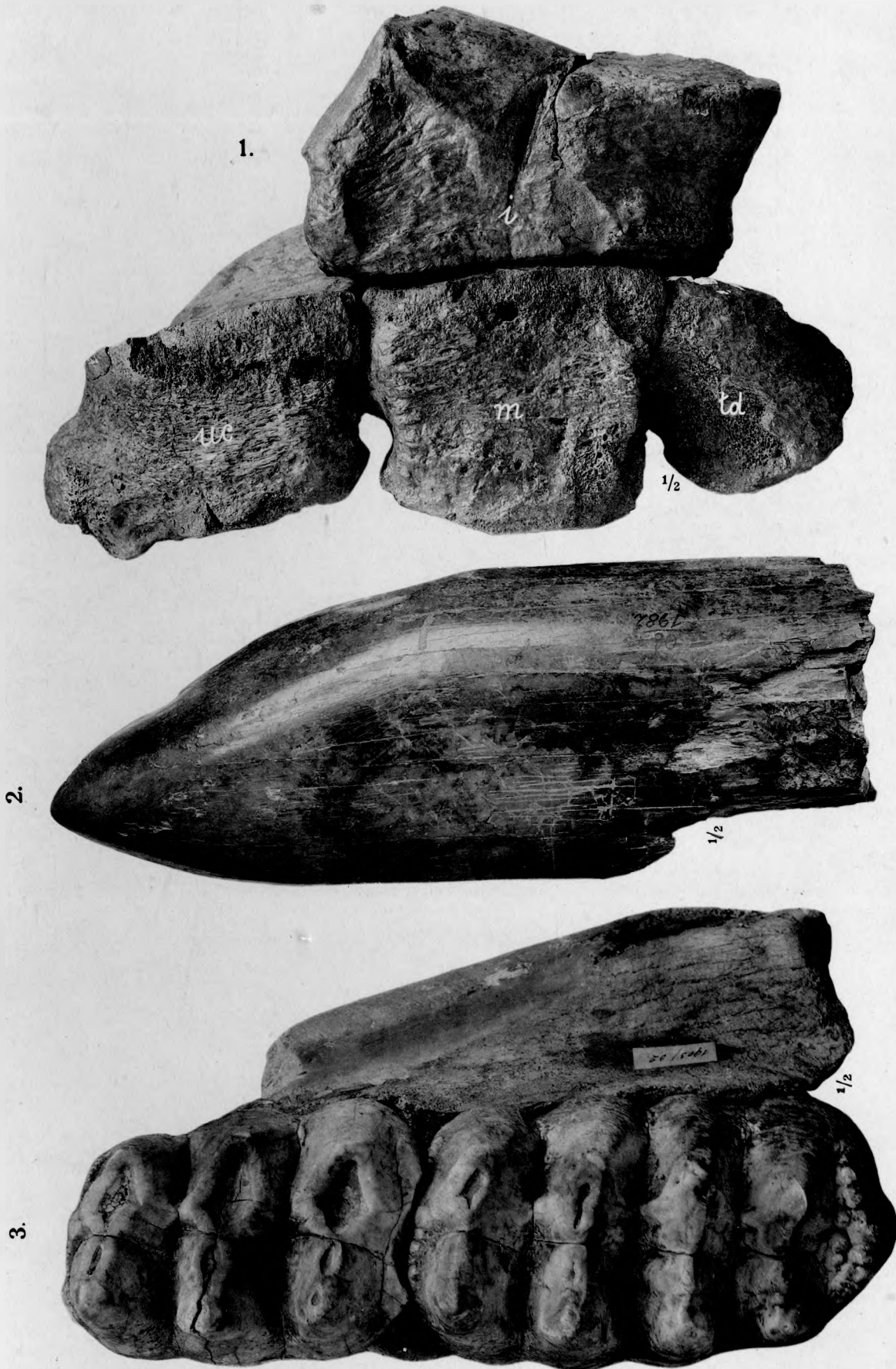
*Figur 3:*  $M_2^+$ , *dext.* von der Kaufläche.

*Fundort:* Ohio, U. St. A.

*Horizont:* Quartär.

*Wiedergabe* aller drei Figuren:  $\frac{1}{2}$  natürl. Gr.

Die Originale, von denen *Figur 1* demselben Tier wie auf *Tafel II.* angehört, liegen in der Sammlung der Ungarischen Geologischen Reichsanstalt in Budapest.



## TAFEL VII.

### *Mastodon (Bunolophodon) angustidens* CUVIER *forma typica* autorum.

- Figur 1*:  $I_2^z$  *sin.* von unten, um das Schmelzband zu zeigen.  
*Fundort*: Salgótarján, Komitat Nógrád.  
*Horizont*: I. Mediterranstufe (Burdigalien).
- Figur 2*: Unterkieferschaufel desselben Tieres ( $I_2^z$  *dext. et sin.*) von oben.  
*Fundort* und *Horizont*, wie bei *Figur 1*.
- Figur 3*:  $I_2^z$  *sin.* desselben Tieres von innen.  
*Fundort* und *Horizont*, wie bei *Figur 1*.
- Figur 4*:  $I_2^z$  *dext.* desselben Tieres von unten.  
*Fundort* und *Horizont*, wie bei *Figur 1*.

### *Mastodon (Bunolophodon) angustidens* CUVIER *forma subtapiroidea* SCHLESINGER.

- Figur 5*:  $M_7^z$  *sin.* von der Kauffläche; überleitender Typus von der *f. typica*.  
*Fundort*: Sajókaza, Komitat Borsod.  
*Horizont*: Miozän, wahrscheinlich I. Mediterranstufe (Burdigalien).
- Figur 6*:  $M_7^z$  *sin.* von der Kauffläche; überleitender Typus von der *f. typica*.  
*Fundort*: Etes, Komitat Nógrád.  
*Horizont*: Miozän, wahrscheinlich I. Mediterranstufe (Burdigalien).
- Wiedergabe der Figuren 1—6*: Natürl. Gr.
- Figur 7*:  $M_3^z$  *dext.* (2—4. Joch) von der Kauffläche: typischer Molarenrest.  
*Fundort*: Kőbánya (Steinbruch). Budapest.  
*Horizont*: Sarmatikum.  
*Wiedergabe*:  $\frac{1}{2}$  natürl. Gr.

### *Mastodon (Bunolophodon) longirostris* KAUP *arvernensis* CROIZET et JOBERT.

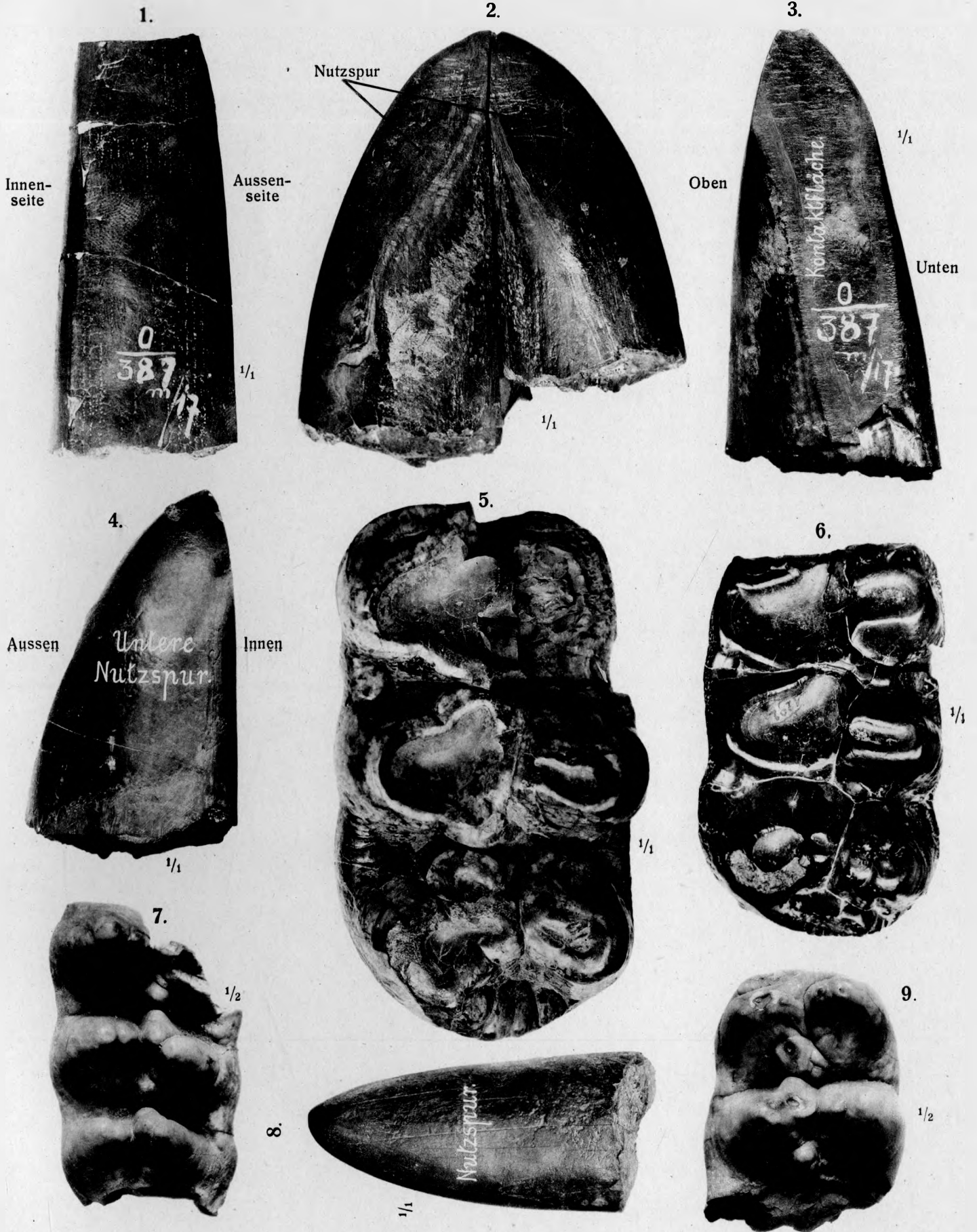
- Figur 8*:  $I_7^z$  *dext.* von innen und oben gesehen.  
*Fundort*: Tatars, Komitat Bihar.  
*Horizont*: Pliozän (Pontikum oder Levantin).  
*Wiedergabe*: Natürl. Gr.

### *Mastodon (Bunolophodon) angustidens* CUVIER *forma subtapiroidea* SCHLESINGER.

- Figur 9*:  $M_3^z$  *sin.* (1. und 2. Joch) desselben Tieres, wie *Figur 7*, von der Kauffläche.  
*Fundort*, *Horizont* und *Wiedergabe*, wie bei *Figur 7*.

Die Originale zu den Figuren 1, 2, 3, 4, 5, 6 und 8 liegen in der Ungarischen Geologischen Reichsanstalt, die zu den Figuren 7 und 9 im Ungarischen Nationalmuseum in Budapest.

*Abkürzungen*: v. = vorne  
h. = hinten.



## TAFEL VIII.

### *Mastodon (Bunolophodon) angustidens* CUVIER *forma typica* autorum.

Figur 1:  $M^3$  dext. von der Kaufläche.

Fundort: Sansan, Departement Gers, Frankreich.

Horizont: Miozän, Helvetien.

### *Mastodon (Bunolophodon) longirostris* KAUP.

Figur 2: Dritter unterer Milchmolar ( $m_{\frac{3}{3}}$  sin.) von der Kaufläche; ein Teil des letzten Joches ist ergänzt.

Fundort: Baltavár, Komitat Vas.

Horizont: Oberstes Pontikum.

Figur 3:  $M^1$  sin. von der Kaufläche.

Fundort und Horizont wie bei Figur 2.

Figur 4: Vorletzter unterer Prämolare ( $pm_{\frac{3}{3}}$  sin.) von der Kaufläche.

Fundort und Horizont wie bei Figur 2.

Figur 5: Zweiter unterer Milchmolar ( $m_{\frac{2}{2}}$  dext.) von der Kaufläche.

Fundort und Horizont wie bei Figur 2.

Figur 6: Zweiter unterer Milchmolar ( $m_{\frac{2}{2}}$  dext.) von der Kaufläche.

Fundort und Horizont wie bei Figur 2.

Figur 7: Zweiter oberer Milchmolar ( $m^2$  dext.) von der Kaufläche.

Fundort und Horizont wie bei Figur 2.

Figur 8: Zweiter oberer Milchmolar ( $m^2$  dext.) von der Kaufläche.

Fundort: Pölgárdi, Komitat Fejér.

Horizont: Oberes Pontikum.

Figur 9;  $M^1$  sin. von der Kaufläche.

Fundort und Horizont wie bei Figur 2.

Wiedergabe der Figuren 1—9: Natürl. Gr.

### *Mastodon (Bunolophodon) angustidens* CUVIER *forma subtapiroidea* SCHLESINGER.

Figur 10:  $M_{\frac{3}{3}}$  dext. von der Kaufläche; typisches Tier, dasselbe wie Tafel VII. Figur 7 und 9.

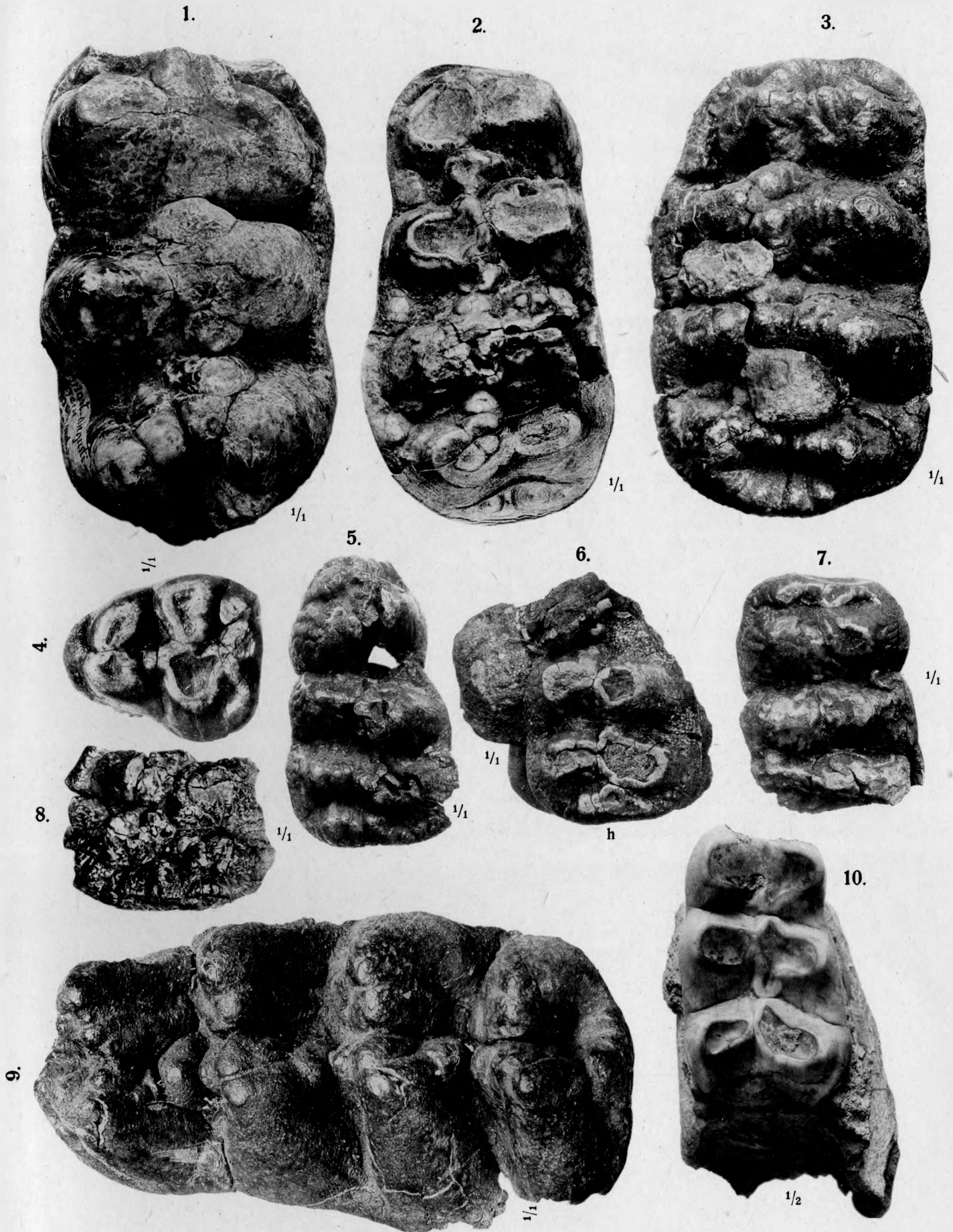
Fundort und Horizont siehe Tafel VII. Figur 7.

Wiedergabe:  $\frac{1}{2}$  natürl. Gr.

Das Original zu der Figur 1 befindet sich in der Sammlung der Paläontologischen Lehrkanzel der Universität, die Originale zu den Figuren 2, 3, 4, 5, 6, 7, 8 und 9 liegen in der Sammlung der Ungarischen Geologischen Reichsanstalt, das zu Figur 10 in der Sammlung des Ungarischen Nationalmuseums in Budapest.

Abkürzungen: v. = vorne.

h. = hinten.



## TAFEL IX.

### *Mastodon (Bunolophodon) longirostris* KAUP.

Figur 1:  $M_2^{\text{dext.}}$  von der Kaufläche.

Fundort: Kamenica bei Újvidék.

Horizont: Unbekannt.

Wiedergabe:  $\frac{1}{2}$  natürl. Gr.

Figur 2:  $M_2^{\text{dext.}}$  von der Kaufläche.

Fundort: Kőbánya (Steinbruch). Budapest.

Horizont: Unterstes Oberpontikum.

Wiedergabe:  $\frac{1}{2}$  natürl. Gr.

Figur 3:  $M_2^{\text{sin.}}$  von der Kaufläche.

Fundort: Gubacs, Komitat Pest.

Horizont: Unterpontikum.

Wiedergabe:  $\frac{1}{2}$  natürl. Gr.

Figur 4:  $M_3^{\text{dext.}}$  von der Kaufläche.

Fundort: Eppelsheim, Bayern.

Horizont: Unteres Pliozän.

Wiedergabe:  $\frac{1}{2}$  natürl. Gr.

### *Mastodon (Bunolophodon) <sup>angustidens</sup> CUVIER* *longirostris* KAUP.

Figur 5:  $M_3^{\text{sin.}}$  von der Kaufläche.

Fundort: Abádszalók, Komitat Jász-N.-K.-Szolnok.

Horizont: Unbekannt.

Wiedergabe:  $\frac{1}{2}$  natürl. Gr.

### *Mastodon* (*Bunolophodon*) *longirostris* KAUP (*Dibunodon*) *arvernensis* CROIZET et JOBERT.

Figur 6:  $M_3^{\text{sin.}}$  von der Kaufläche.

Fundort: Jászberény, Komitat Jász-N.-K.-Szolnok.

Horizont: Levantin (Mittelpliozän).

Wiedergabe:  $\frac{1}{2}$  natürl. Gr.

### *Mastodon (Bunolophodon) longirostris* KAUP.

Figur 7: Rechter Mandibelast mit  $M_2^{\text{dext.}}$  und den basalen Teilen des  $M_2^{\text{sin.}}$  von aussen gesehen.

Fundort: Gubacs, Komitat Pest.

Horizont: Unteres Pontikum.

Wiedergabe:  $\frac{1}{3}$  natürl. Gr.

Die Originale zu den Figuren 1, 2, 3, 4 und 7 befinden sich in der Sammlung der Ungarischen Geologischen Reichsanstalt, die zu den Figuren 5 und 6 in der Sammlung des Ungarischen Nationalmuseums in Budapest.

Abkürzungen: v. = vorne.

h. = hinten.

Mass. ans. = Masseteransatz.

F. ment. = Foramen mentale.



## TAFEL X.

### *Mastodon (Bunolophodon) longirostris* KAUP.

- Figur 1:* Rechter Mandibelast (mit  $M_{\frac{2}{3}}$  und Teilen von  $M_{\frac{1}{2}}$ ) von der Kaufläche.  
*Fundort:* Gubaes, Komitat Pest.  
*Horizont:* Unterpontikum.  
*Wiedergabe:*  $\frac{1}{3}$  natürl. Gr.

### *Mastodon* (*Bunolophodon*) *longirostris* KAUP (*Dibunodon*) *arvernensis* CROIZET et JOBERT.

- Figur 2:*  $M^{\frac{3}{2}}$  dext. von der Kaufläche.  
*Fundort:* Pestszentlőrincz, Komitat Pest.  
*Horizont:* Levantin (Mittelplozän).  
*Figur 3:*  $M^{\frac{3}{2}}$  dext. von der Kaufläche.  
*Fundort:* Zavada, Komitat Nyitra.  
*Horizont:* Levantin (Mittelplozän).  
*Wiedergabe* beider Figuren:  $\frac{1}{2}$  natürl. Gr.

### *Mastodon (Dibunodon) arvernensis* CROIZET et JOBERT.

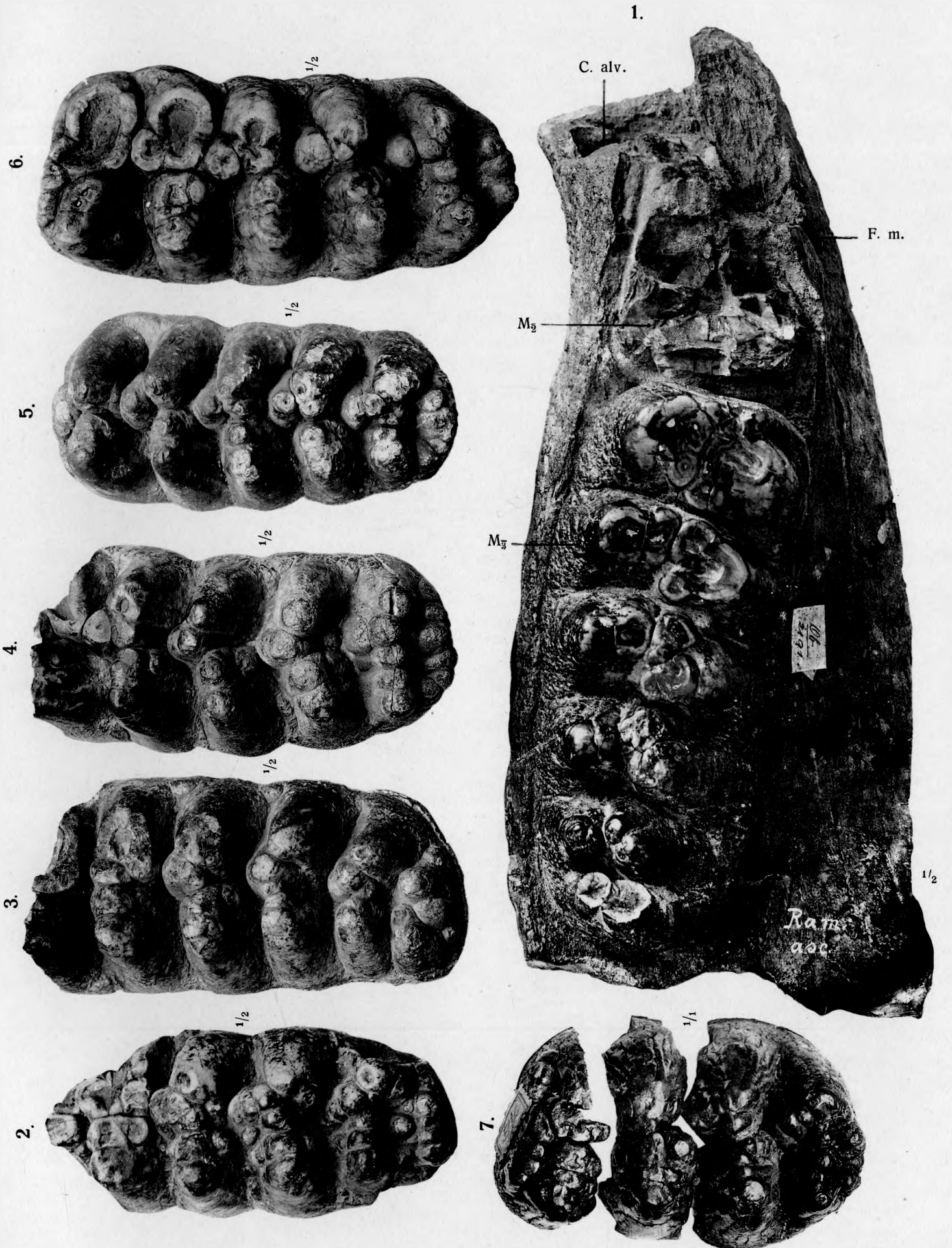
- Figur 4:*  $M^{\frac{3}{2}}$  dext. von der Kaufläche.  
*Fundort:* Péczel, Komitat Pest.  
*Horizont:* Levantin (Mittelplozän).  
*Figur 5:*  $M^{\frac{3}{2}}$  dext. von der Kaufläche.  
*Fundort:* Rákoskeresztúr, Komitat Pest.  
*Horizont:* Levantin (Mittelplozän).  
*Figur 6:*  $M^{\frac{3}{2}}$  dext. von der Kaufläche.  
*Fundort:* Murány, Komitat Temes.  
*Horizont:* Levantin (Mittelplozän).  
*Wiedergabe* der Figuren 4—6:  $\frac{1}{2}$  natürl. Gr.

Die Figuren 1—6 bringen die fortschreitende Zunahme der Wechselstellung der Joche an  $M^{\frac{3}{2}}$  dext. der Art und ihres unmittelbaren Vorläufers zur Darstellung.

- Figur 7:* Dritter Milchmolar ( $m^{\frac{3}{2}}$  dext.) von der Kaufläche.  
*Fundort:* Barót, Komitat Hárómszék.  
*Horizont:* Levantin (Mittelplozän).  
*Wiedergabe:* Natürl. Gr.

Die Originale zu sämtlichen Figuren befinden sich in der Sammlung der Ungarischen Geologischen Reichsanstalt in Budapest.

- Abkürzungen:* C. alv. = *Canalis alveolaris*,  
F. ment. = *Foramen mentale*,  
Ram. asc. = *Ramus ascendens*.



## TAFEL XI.

**Mastodon** (*Bunolophodon*) *longirostris* KAUP  
(*Dibunodon*) *arvernensis* CROIZET et JOBERT.

Figur 1:  $M_{\frac{2}{3}}$  dext. von der Kaufläche.

Fundort: Tataros, Komitat Bihar.

Horizont: Levantin (Mittelplozän).

Wiedergabe:  $\frac{1}{2}$  natürl. Gr.

**Mastodon (Dibunodon) arvernensis** CROIZET et JOBERT.

Figur 2:  $M_{\frac{2}{3}}$  sin. von der Kaufläche.

Fundort: Rákoskeresztúr, Komitat Pest.

Horizont: Levantin (Mittelplozän).

Wiedergabe:  $\frac{1}{2}$  natürl. Gr.

Figur 3:  $M^1$  dext. von der Kaufläche.

Fundort: Barót, Komitat Häromszék.

Horizont: Levantin (Mittelplozän).

Wiedergabe: Natürl. Gr.

Figur 4:  $M^1$  dext. von der Kaufläche.

Fundort: Ajnácskő, Komitat Gömör.

Horizont: Levantin (Mittelplozän).

Wiedergabe:  $\frac{1}{2}$  natürl. Gr.

Figur 5:  $M_{\frac{1}{2}}$  sin. von der Kaufläche (das 4. Joch fehlt).

Fundort, Horizont und Wiedergabe wie bei Figur 2.

Figur 6:  $M^2$  dext. (hintere Hälfte).

Fundort, Horizont und Wiedergabe wie bei Figur 2.

Figur 7:  $M^2$  dext. von der Kaufläche.

Fundort: Pestszentlőrincz, Komitat Pest.

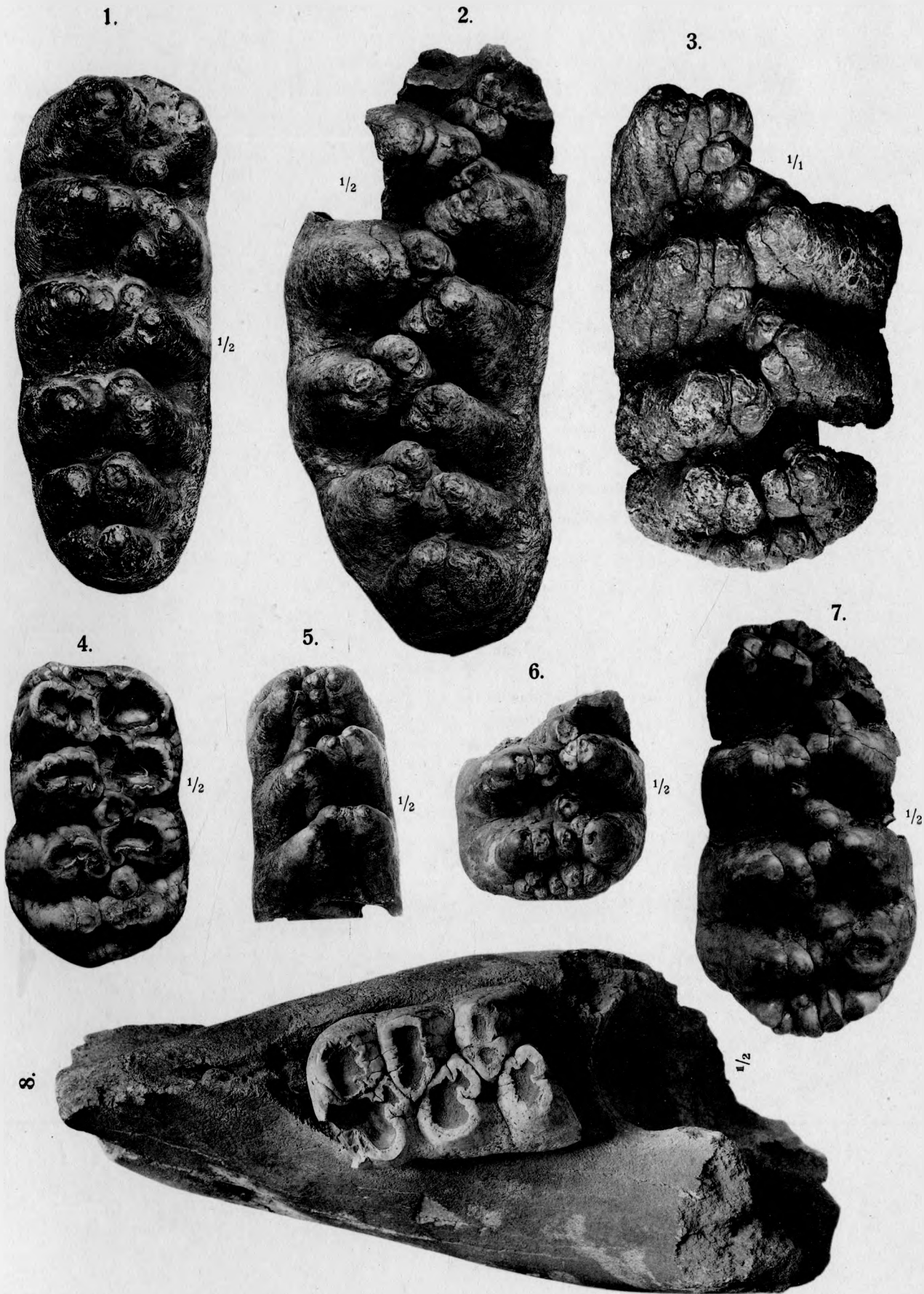
Horizont: Levantin (Mittelplozän).

Wiedergabe:  $\frac{1}{2}$  natürl. Gr.

Figur 8: Jünglicher Unterkiefer mit  $M_{\frac{1}{2}}$  sin. (das Schlussjoch fehlt).

Fundort, Horizont und Wiedergabe wie bei Figur 2.

Die Originale zu den Figuren 1, 2, 3, 5 und 6 liegen in der Sammlung der Ungarischen Geologischen Reichsanstalt, die zu den Figuren 4 und 8 in der Sammlung des Ungarischen Nationalmuseums und das zu Figur 7 in der Sammlung der Paläontologischen Lehrkanzel der Universität in Budapest.



TAFEL XII.

*Mastodon (Dibunodon) arvernensis* CROIZET et JOBERT.

*Figur 1*: Juvenile Mandibel mit  $M_7$  *dext.* (drei letzte Joche) und dem Lager für  $M_2$ . Der Alveolarkanal ist auffallend klein! Ansicht von innen.

*Figur 2*:  $M^1$  *dext.* (vorderste Joche) von der Kauffläche.

*Figur 3*: a) linker, b) rechter Mandibelast mit  $M_3$ ; sehr typisches Tier!

*Fundort*: Ajnácskő, Komitat Gömör.

*Horizont*: Levantin (Mittelplozän).

*Wiedergabe*:  $\frac{1}{2}$  natürl. Gr.

*Figur 4*:  $M_3$  *dext.*; die drei Schlussjoche von der Kauffläche.

*Fundort*: Gubacs, Komitat Pest.

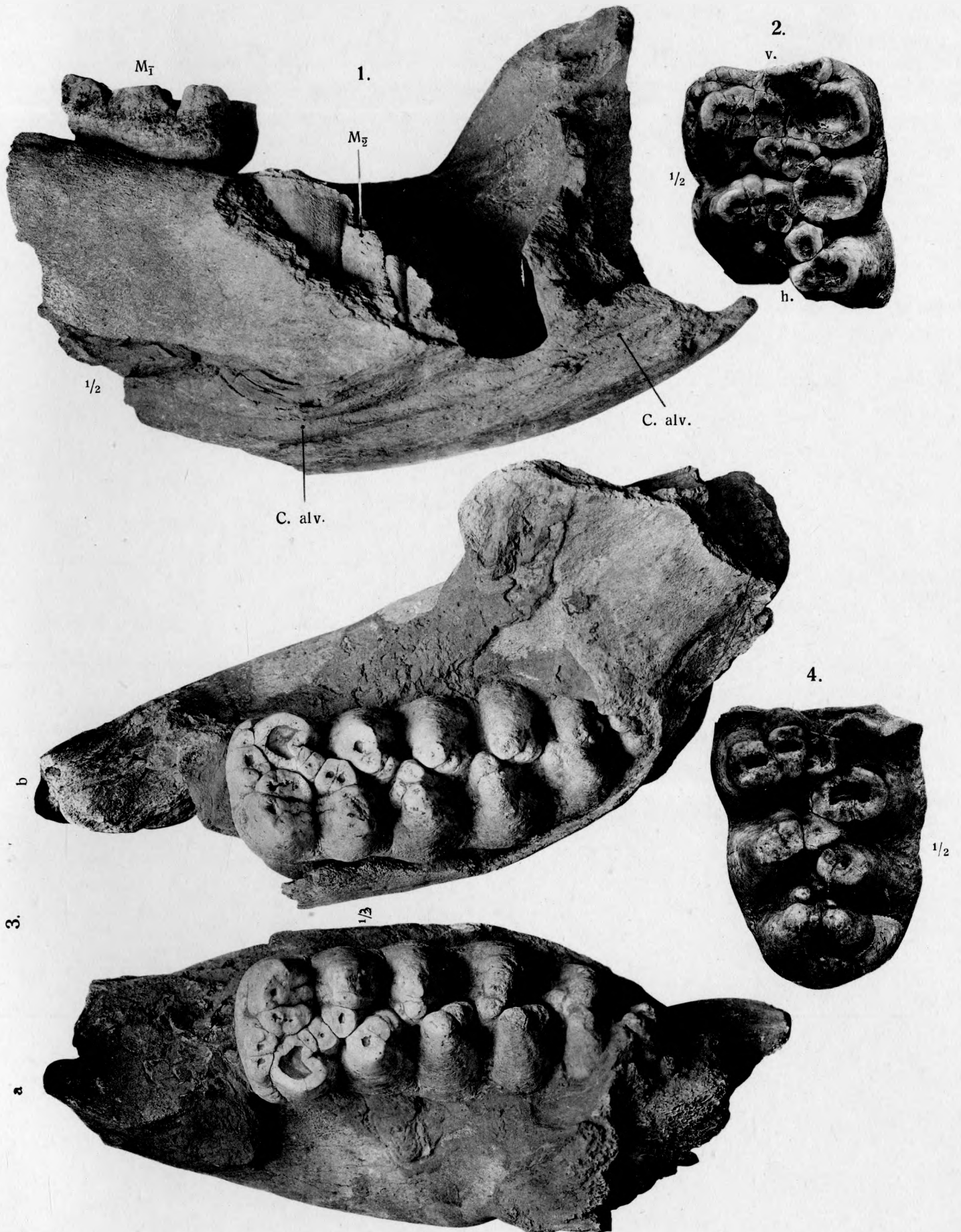
*Horizont und Wiedergabe* wie bei *Figur 1—3*.

Die Originale zu den Figuren 1, 2 und 3 liegen in der Sammlung des Ungarischen Nationalmuseums, das zu *Figur 4* in der Sammlung der Ungarischen Geologischen Reichsanstalt in Budapest.

*Abkürzungen*: *C. alc.* = *Canalis alveolaris*.

v. = vorne.

h. = hinten.



## TAFEL XIII.

### *Mastodon (Dibunodon) arvernensis* CROIZET et JOBERT.

Figur 1:  $M_2^2$  dext. von der Kaufläche.

Fundort: Bardócz, Komitat Udvarhely.

Horizont: Levantin (Mittelplozän).

Wiedergabe:  $\frac{1}{2}$  natürl. Gr.

Figur 2: Rechter Mandibelast eines atypischen Tieres mit  $M_{\frac{3}{3}}$ ; davor die bereits geschlossene Alveole nach dem ausgestossenen  $M_2$ .

Fundort: Ajnácskő, Komitat Gömör.

Horizont: Levantin (Mittelplozän).

Wiedergabe:  $\frac{1}{2}$  natürl. Gr.

### *Mastodon (Zygalophodon) tapiroides* CUVIER.

Figur 3:  $M_{\frac{3}{3}}$  sin. von der Kaufläche.

Fundort: Szakal, Komitat Nógrád.

Horizont: Miozän, II. Mediterran-Stufe.

Wiedergabe:  $\frac{1}{2}$  natürl. Gr.

Figur 4:  $M_{\frac{3}{3}}$  sin. eines atypischen Tieres.

Fundort: Angeblich Batta, Komitat Fehér.

Horizont: Unbekannt.

Wiedergabe:  $\frac{1}{2}$  natürl. Gr.

### *Mastodon (Mammut) Borsoni* HAYS.

Figur 5:  $M_{\frac{3}{3}}$  sin. einer ursprünglichen Type.

Fundort: Salgótarján, Komitat Nógrád.

Horizont: Plozän.

Wiedergabe:  $\frac{1}{2}$  natürl. Gr.

### *Mastodon* (*Zygalophodon*) *tapiroides* CUVIER (*Mammut*) *americanus* PENNANT.

Figur 6:  $I_2^2$  sin. von unten (Bruchstück).

Fundort: Usztató bei Tasnád, Komitat Szilágy.

Horizont: Unteres Pontikum.

Wiedergabe:  $\frac{1}{2}$  natürl. Gr.

Figur 7: Linke Mandibel mit  $M_{2+3}$  von innen.

Fundort und Horizont wie bei Figur 6.

Wiedergabe:  $\frac{1}{2}$  natürl. Gr.

Das Original zu Figur 1 befindet sich in der Sammlung des Székler Museums in Sepsiszentgyörgy, die Originale zu den Figuren 2 und 4 in der Sammlung des Ungarischen Nationalmuseums und die zu den Figuren 3, 5, 6 und 7 in der Sammlung der Ungarischen Geologischen Reichsanstalt in Budapest.



## TAFEL XIV.

***Mastodon*** (*Zygalophodon*) *tapiroides* CUVIER  
(*Mammut*) *americanus* PENNANT.

Figur 1: Linker Unterkiefer mit  $M_{2+3}$  von der Kaufläche.

Fundort und Horizont wie bei Taf. XIII, Figur 7.

Wiedergabe:  $\frac{1}{3}$  natürl. Gr.

Figur 2:  $M^2$  dext. ) von der Kaufläche. Die weisspunktirt umgrenzten Teile sind in Gips

Figur 3:  $M^2$  sin. ) ergänzt.

Fundort und Horizont wie bei Figur 1.

***Mastodon*** (*Zygalophodon*) *tapiroides* CUVIER.

Figur 4:  $M^2$  dext. von der Kaufläche.

Fundort: K ö b á n y a (Steinbruch). Budapest.

Horizont: Sarmatikum.

Wiedergabe:  $\frac{1}{2}$  natürl. Gr.

***Mastodon*** (*Mammut*) *americanus* PENNANT *forma praetypica* SCHLESINGER.

Figur 5:  $M^2$  dext. von der Kaufläche.

Fundort: R á k o s k e r e s z t ú r. Komitat Pest.

Horizont: Levantin (Mittelplozän).

Wiedergabe:  $\frac{1}{2}$  natürl. Gr.

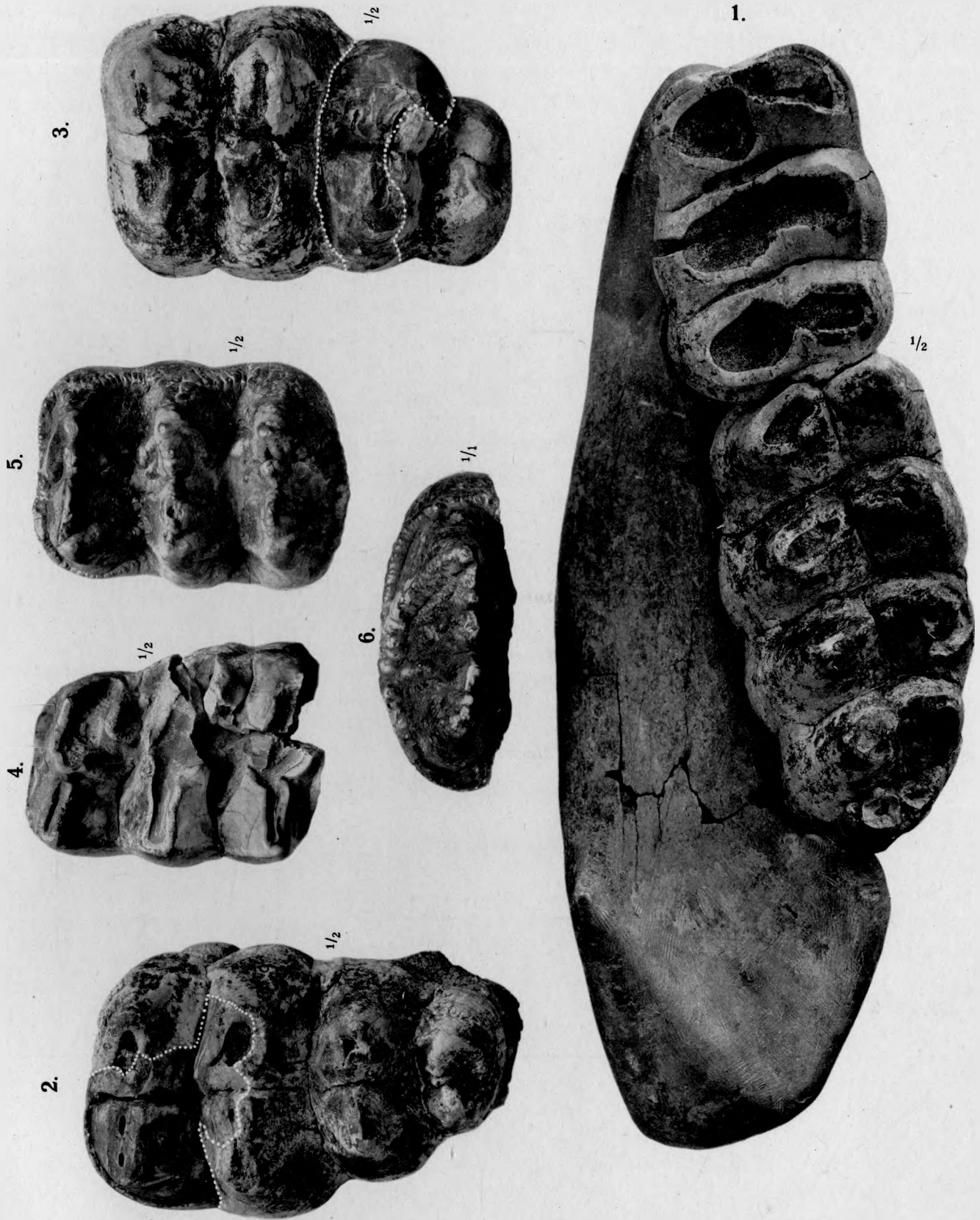
***Mastodon*** (*Mammut*) *Borsoni* HAYS.

Figur 6:  $M^1$  dext. 1. Joch

Fundort und Horizont wie bei Figur 5.

Wiedergabe: Natürl. Gr.

Die Originale zu den Figuren 1, 2, 3 und 6 liegen in der Sammlung der Ungarischen Geologischen Reichsanstalt, die zu den Figuren 4 und 5 in der Sammlung des Ungarischen Nationalmuseums in Budapest.



## TAFEL XV.

### *Mastodon (Mammut) americanus* PENNANT *forma praetypica* SCHLESINGER.

*Figur 1:*  $M^3$  *dext.*, erste drei Joche von der Kaufläche.  
*Fundort:* R á k o s k e r e s z t ú r, Komitat Pest.  
*Horizont:* Levantin (Mittelplozän).

*Figur 2:*  $M^{2+3}$  *dext.* von der Kaufläche.

*Figur 3:*  $M_{2+3}$  *dext.* desselben Tieres.  
*Fundort:* S z a b a d k a, Komitat Bács-Bodrog,  
*Horizont:* Unbekannt.

*Figur 4:* Linke Mandibel mit  $M_{2+3}$ .  
*Fundort:* B a t t a — É r d. Komitat Pest.  
*Horizont:* Oberstes Pontikum (Unterpliozän).

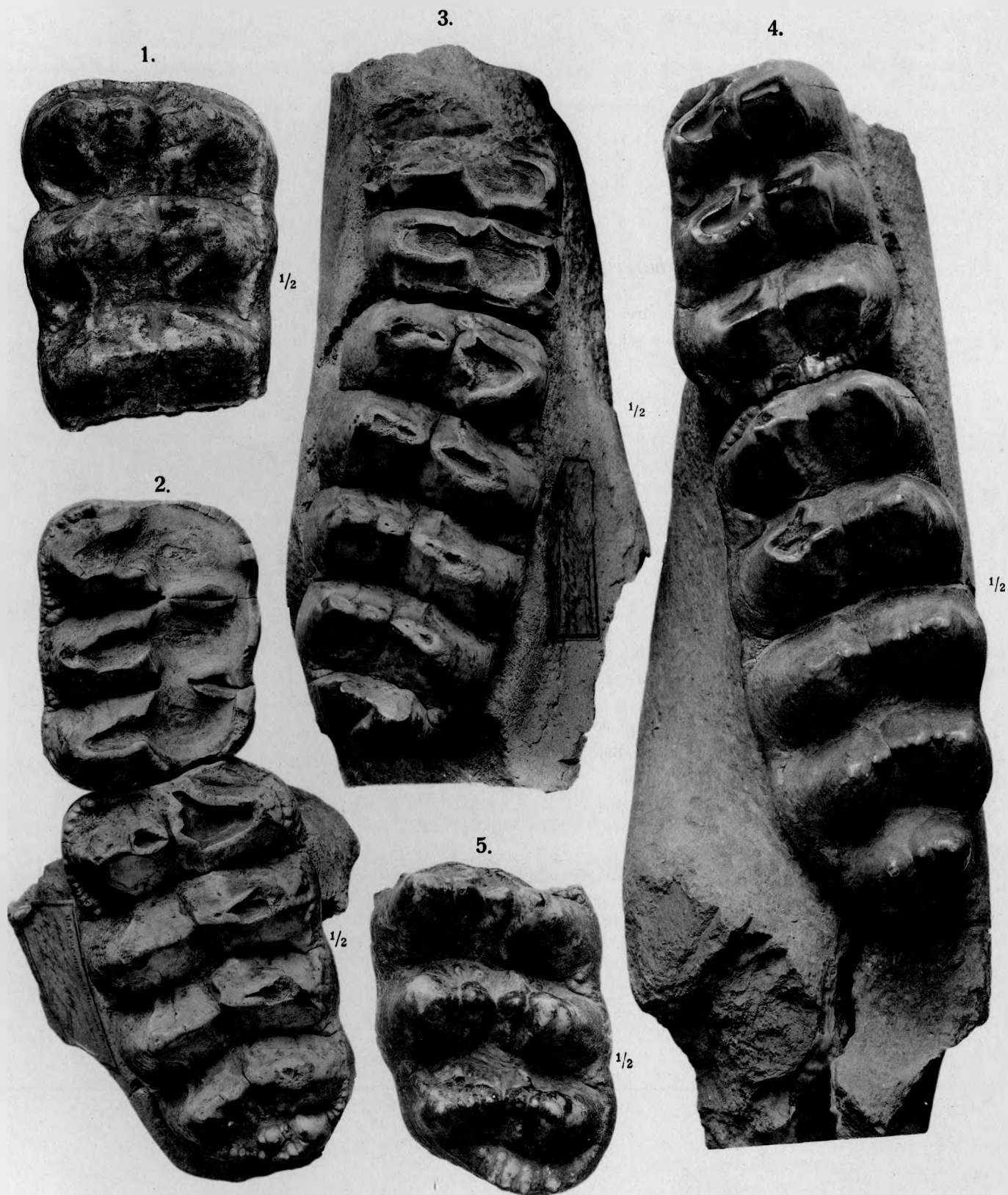
*Wiedergabe* aller vier Figuren:  $\frac{1}{2}$  natürl. Gr.

### *Mastodon (Mammut) Borsoni* HAYS.

*Figur 5:*  $M_3$  *dext.*, letzte drei Joche von der Kaufläche.  
*Fundort:* Komitat Bács-Bodrog.  
*Horizont:* Unbekannt.  
*Wiedergabe:*  $\frac{1}{2}$  natürl. Gr.

Das Original zu Figur 1 liegt in der Sammlung der Ungarischen Geologischen Reichsanstalt, die Originale zu den Figuren 2–5 in der Sammlung des Ungarischen Nationalmuseums in Budapest.

---



## TAFEL XVI.

### *Mastodon (Mammut) americanus* PENNANT *forma praetypica* SCHLESINGER.

*Figur 1:* Rechter Mandibelast mit  $M_{\frac{3}{3}}$  (ohne Schmelzkappe) von der Kaufläche gesehen.

*Figur 2:* Linker Mandibelast desselben Tieres mit  $M_{\frac{2}{2}}$  (2 Joche) und  $M_{\frac{3}{3}}$  (Talon fehlt).

*Fundort:* Ajnácskő. Komitat Gömör.

*Horizont:* Levantin (Mittelplozän).

*Wiedergabe:*  $\frac{1}{2}$  natürl. Gr.

### *Mastodon (Mammut) Borsoni* HAYS.

*Figur 3:*  $M_{\frac{3}{3}}$  sin. (3 x Joche) von der Kaufläche.

*Fundort:* Pestszentlőrincz. Komitat Pest.

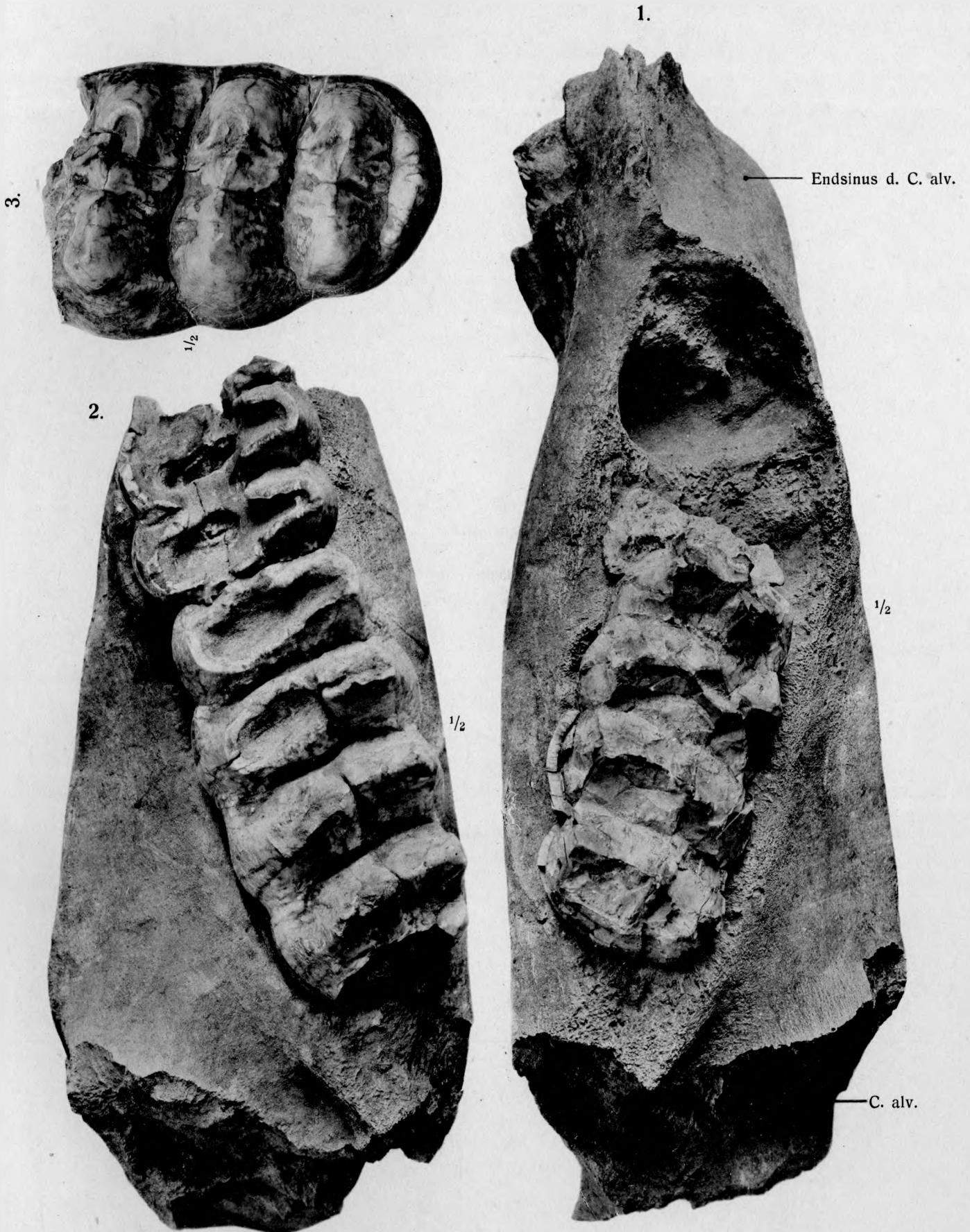
*Horizont:* Levantin (Mittelplozän).

*Wiedergabe:*  $\frac{1}{2}$  natürl. Gr.

Die Originale zu den Figuren 1 und 2 liegen in der Sammlung des Ungarischen Nationalmuseums, das zu Figur 3 befindet sich in der Sammlung der Ungarischen Geologischen Reichsanstalt in Budapest.

*Abkürzung:* *C. alc.* = *Canalis alveolaris*.

---



## TAFEL XVII.

### *Mastodon (Mammut) americanus* PENNANT *forma praetypica* SCHLESINGER.

*Figur 1:* Der in Tafel XVI, Fig. 1 dargestellte Mandibelast von aussen gesehen, um das aufgetriebene Vorderende des Alveolarkanales und die Lagerung und Ausbildung der Mentalforamina zu zeigen.

*Fundort, Horizont und Wiedergabe* wie bei Tafel XVI, Fig. 1.

### *Mastodon (Mammut) Borsoni* HAYS.

*Figur 2:*  $M_{\frac{3}{3}}$  dext. von der Kaufläche.

*Fundort:* Hidvégy, Komitat Háromszék.

*Horizont:* Levantin (Mittelplozän).

*Wiedergabe:*  $\frac{1}{2}$  natürl. Gr.

*Figur 3:*  $M_{\frac{3}{3}}$  dext. von der Kaufläche.

*Fundort:* Vác, Komitat Pest.

*Horizont:* Unbekannt.

*Wiedergabe:*  $\frac{1}{2}$  natürl. Gr.

*Figur 4:*  $M_{\frac{2}{2}}$  dext. desselben Tieres wie Fig. 2.

*Fundort, Horizont und Wiedergabe* wie bei Figur 2.

Das Original zu Figur 1 liegt in der Sammlung des Ungarischen Nationalmuseums, die Originale zu den Figuren 2—4 befinden sich in der Sammlung der Ungarischen Geologischen Reichsanstalt.

*Abkürzungen:* *F. ment.* = *Foramen mentale.*

*C. alc.* = *Canalis alveolaris.*

*Ram. asc.* = *Ramus ascendens.*

*Mass. ans.* = *Masseteransatz.*

*F. alv. a.* = *Foramen alveolare anterius.*

---

